HENNLICH

# B120

DN 50 – DN 1500

- **Typ B120**
  ohne Vakuumstützringe
- **Typ B121**
  mit innenliegenden Vakuumstützringen
- **Typ B122**
  mit einvulkanisierten Vakuumstützringen
- **Typ B123**
  ohne Vakuumstützringe,
  mit Überdruckring im Wellental außen
- **Typ B124**
  mit innenliegenden Vakuumstützringen,
  mit Überdruckring im Wellental außen
- **Typ B125**
  mit einvulkanisierten Vakuumstützringen,
  mit Überdruckring im Wellental außen

Typenschlüssel ▶ Seite 20

B1 2 3

- 3 → Stützringvariante
- 2 → Wellenanzahl
- B1 → Typ

## Universalkompensator mit zwei Wellen

**Ausführung:** Strömungsgünstiger, zweiwelliger Gummibalg mit Stulpen für Schellenbefestigung
Optional mit Vakuumstützringen und/oder Überdruckring im Wellental außen

**Nennweiten:** DN 50 bis DN 1500, Zwischengrößen möglich

**Baulänge:** = Baulücke + 2 x Auflagebreite
Standardbaulücken $L_0$ = 250 bis 500 mm
(▶ Seite 149–151)
Andere Baulücken auf Anfrage

**Auflagebreite:** Abhängig von Druck, Nennweite und Schellenausführung mindestens 40 mm

**Druck:** Je nach Nennweite und Baulänge bis 6 bar
Vakuum ohne Vakuumstützringe nicht zulässig,
mit Vakuumstützringen bis 0,05 bar absolut
Auslegung nach Druckgeräterichtlinie PED 97/23/EG

**Dehnungsaufnahme:** Für große axiale, laterale und angulare Bewegungen
(▶ Seite 149–151)
Bei axialer Streckung oder Vakuum kann der Kompensator von der Rohrleitung gezogen werden (ggf. Sicke am Rohrleitungsende vorsehen)

**Anwendung:**
Kraftwerke, Anlagenbau, Lebensmittelindustrie, Klärwerke, Industrieanlagen z. B. zur Rohrleitungsentkopplung, an Schwingfördereinrichtungen, an Siebmaschinen

CE PED 97/23/EG · KTW · FDA · Ω <10⁵ Ohm · EX

## Gummibalg

| Gummiqualitäten | | | Druckträger |
|---|---|---|---|
| bis 100 °C: | EPDM | Kühlwasser, Warmwasser, Seewasser, Säuren, verdünnte Chlorverbindungen | Nylongewebe<br>Polyestergewebe<br>Kevlargewebe<br>Glasgewebe,<br>Stahlgewebe |
| | EPDM, mit Trinkwasserzulassung | Trinkwasser | |
| | EPDM, weiß mit Lebensmittelzulassung | Nahrungsmittel | |
| | EPDM, abriebfest | Abrasive Materialien,<br>Wasser-Sand-Förderung | |
| | EPDM, isolierend | Elektroanlagenbau | |
| | IIR | Warmwasser, Säuren, Laugen, Gase | |
| | CSM | Starke Säuren, Laugen, Chemikalien | |
| | NBR | Öle, Benzin, Lösemittel, Druckluft | |
| | NBR, hell mit Lebensmittelzulassung | Öl-, fetthaltige Nahrungsmittel | |
| bis 80 °C: | CR | Kühlwasser, leicht ölhaltiges Wasser, Seewasser | |
| bis 70 °C: | NR | Abrasive Materialien | |
| bis 150 °C: | HNBR | Öle, Benzin, Lösemittel, Druckluft | |
| bis 180 °C: | FPM | Aggressive Chemikalien, Erdölderivate | |
| bis 200 °C: | Silicon (Q) | Luft, Seewasseratmosphäre | |
| | Silicon (Q), weiß mit Lebensmittelzulassung | Nahrungsmittel, Medizintechnik | |
| PTFE-Auskleidung: | Bei hoher chemischer Beanspruchung auf der Innenseite an den Gummibalg fest anvulkanisiert, ab DN 300 möglich. Einschränkung der angegebenen Dehnungsaufnahme beachten (▶ Seite 149-151) | | |

## Befestigungsschellen

**Ausführung:** Je nach Druck und Nennweite Endlosschellenband, Schneckengewindeband, Kleinschellen oder Gelenkbolzenschellen. Bei höheren Drücken 2 Schellen je Befestigungsseite nebeneinander

**Breite:**

| | |
|---|---|
| Endlosschellenband: | ¾“ |
| Schneckengewindeband: | ½“ |
| Kleinschelle: | je nach Ø: 9–12 mm |
| Gelenkbolzenschelle: | je nach Ø: 18–30 mm |

**Werkstoffe:**

| | |
|---|---|
| Endlosschellenband mit Schraubschlaufe (Spannzange): | 1.7300 |
| Schneckengewindeband mit Schneckenschraubschlaufe: | 1.4310 |
| Kleinschelle, Band und Gehäuse: | 1.4016 (Schraube Stahl verzinkt) |
| Gelenkbolzenschelle, Band und Gehäuse: | 1.4016 (Schraube Stahl verzinkt) |

HENNLICH

## Stützringe

| TYP | | Vakuumstützring | Überdruckring | Druck | Dehnung |
|---|---|---|---|---|---|
| B120 | | Ohne | Ohne | Geringer Überdruck, geringer Unterdruck | ▶ Seite 149 |
| B121 | | Medienkontakt, innen im Wellenscheitel | Ohne | Geringer Überdruck, für Unterdruck bis 0,05 bar absolut | ▶ Seite 150 |
| B122 | | Kein Medienkontakt, im Wellenscheitel des Gummibalgs einvulkanisiert | Ohne | Geringer Überdruck, für Unterdruck bis 0,05 bar absolut | ▶ Seite 151 |
| B123 | | Ohne | Außen im Wellental | Je nach Nennweite bis 6 bar, geringer Unterdruck | ▶ Seite 149 |
| B124 | | Medienkontakt, innen im Wellenscheitel | Außen im Wellental | Je nach Nennweite bis 6 bar, für Unterdruck bis 0,05 bar absolut | ▶ Seite 150 |
| B125 | | Kein Medienkontakt, im Wellenscheitel des Gummibalgs einvulkanisiert | Außen im Wellental | Je nach Nennweite bis 6 bar, für Unterdruck bis 0,05 bar absolut | ▶ Seite 151 |

### Werkstoffe

| | | |
|---|---|---|
| Edelstahl: | 1.4301 (X5CrNi18-10) | Andere Werkstoffe auf Anfrage |
| | 1.4539 (X1NiCrMoCu25-20-5) | |
| | 1.4571 (X6CrNiMoTi17-12-2) | |
| Kohlenstoffstahl: | 1.0570 (S355J2G3) gummiert | |

**Planungshilfe B120**

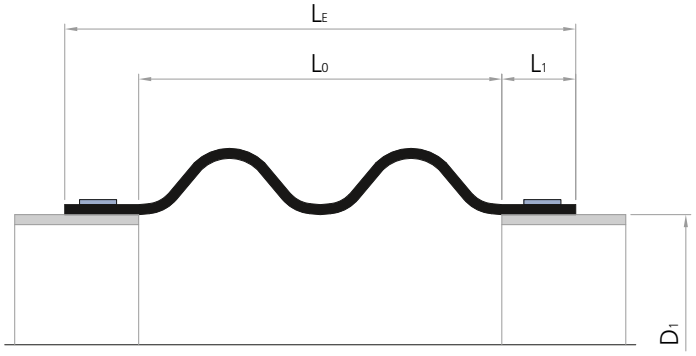

HENNLICH

# B120

▶ ohne Vakuumstützringe

# B123

▶ ohne Vakuumstützringe, mit Überdruckring im Wellental außen

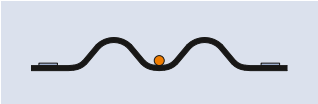

## Baulücke

| Nenn-weite | $L_0$ = 250 mm | | | | | $L_0$ = 300 mm | | | | | $L_0$ = 350 mm | | | | |
|---|---|---|---|---|---|---|---|---|---|---|---|---|---|---|---|
| | Dehnungsaufnahme | | | | A | Dehnungsaufnahme | | | | A | Dehnungsaufnahme | | | | A |
| | mm | mm | ±mm | ±° | cm² | mm | mm | ±mm | ±° | cm² | mm | mm | ±mm | ±° | cm² |
| 50 | 62 | 20 | 41 | 38,7 | 96 | 80 | 40 | 60 | 58,0 | 155 | 88 | 41 | 65 | 58,6 | 159 |
| 65 | 62 | 20 | 40 | 31,6 | 125 | 80 | 40 | 59 | 50,9 | 191 | 88 | 41 | 63 | 51,6 | 196 |
| 80 | 62 | 20 | 39 | 26,6 | 152 | 80 | 40 | 58 | 45,0 | 224 | 88 | 41 | 62 | 45,7 | 229 |
| 100 | 62 | 20 | 38 | 21,8 | 212 | 80 | 40 | 56 | 38,7 | 297 | 88 | 41 | 61 | 39,4 | 303 |
| 125 | 62 | 20 | 38 | 17,7 | 283 | 80 | 40 | 55 | 32,6 | 379 | 88 | 41 | 60 | 33,3 | 386 |
| 150 | 62 | 20 | 37 | 14,9 | 374 | 80 | 40 | 54 | 28,1 | 484 | 88 | 41 | 59 | 28,7 | 492 |
| 175 | 62 | 20 | 36 | 12,9 | 466 | 80 | 40 | 54 | 24,6 | 588 | 88 | 41 | 58 | 25,1 | 597 |
| 200 | 62 | 20 | 36 | 11,3 | 569 | 80 | 40 | 53 | 21,8 | 703 | 88 | 41 | 57 | 22,3 | 712 |
| 250 | 62 | 20 | 35 | 9,1 | 819 | 80 | 40 | 52 | 17,7 | 979 | 88 | 41 | 56 | 18,2 | 990 |
| 300 | 62 | 20 | 35 | 7,6 | 1.098 | 80 | 40 | 51 | 14,9 | 1.281 | 88 | 41 | 55 | 15,3 | 1.294 |
| 350 | 62 | 20 | 34 | 6,5 | 1.292 | 80 | 40 | 50 | 12,9 | 1.490 | 88 | 41 | 54 | 13,2 | 1.504 |
| 400 | 62 | 20 | 34 | 5,7 | 1.636 | 80 | 40 | 50 | 11,3 | 1.858 | 88 | 41 | 54 | 11,6 | 1.873 |
| 450 | 62 | 20 | 33 | 5,1 | 2.020 | 80 | 40 | 49 | 10,1 | 2.267 | 88 | 41 | 53 | 10,3 | 2.283 |
| 500 | 62 | 20 | 33 | 4,6 | 2.445 | 80 | 40 | 49 | 9,1 | 2.715 | 88 | 41 | 52 | 9,3 | 2.734 |
| 550 | 62 | 20 | 33 | 4,2 | 2.911 | 80 | 40 | 48 | 8,3 | 3.205 | 88 | 41 | 52 | 8,5 | 3.225 |
| 600 | 62 | 20 | 33 | 3,8 | 3.417 | 80 | 40 | 48 | 7,6 | 3.735 | 88 | 41 | 52 | 7,8 | 3.757 |
| 650 | 62 | 20 | 32 | 3,5 | 3.964 | 80 | 40 | 48 | 7,0 | 4.305 | 88 | 41 | 51 | 7,2 | 4.329 |
| 700 | 62 | 20 | 32 | 3,3 | 4.551 | 80 | 40 | 47 | 6,5 | 4.917 | 88 | 41 | 51 | 6,7 | 4.941 |
| 750 | 62 | 20 | 32 | 3,1 | 5.178 | 80 | 40 | 47 | 6,1 | 5.568 | 88 | 41 | 51 | 6,2 | 5.595 |
| 800 | 62 | 20 | 32 | 2,9 | 5.847 | 80 | 40 | 47 | 5,7 | 6.260 | 88 | 41 | 50 | 5,9 | 6.288 |
| 850 | 62 | 20 | 32 | 2,7 | 6.555 | 80 | 40 | 46 | 5,4 | 6.993 | 88 | 41 | 50 | 5,5 | 7.023 |
| 900 | 62 | 20 | 31 | 2,5 | 7.305 | 80 | 40 | 46 | 5,1 | 7.766 | 88 | 41 | 50 | 5,2 | 7.798 |
| 1000 | 62 | 20 | 31 | 2,3 | 8.925 | 80 | 40 | 46 | 4,6 | 9.434 | 88 | 41 | 49 | 4,7 | 9.469 |
| 1100 | 62 | 20 | 31 | 2,1 | 10.496 | 80 | 40 | 45 | 4,2 | 11.047 | 88 | 41 | 49 | 4,3 | 11.085 |
| 1200 | 62 | 20 | 31 | 1,9 | 12.370 | 80 | 40 | 45 | 3,8 | 12.969 | 88 | 41 | 48 | 3,9 | 13.009 |
| 1300 | 62 | 20 | 30 | 1,8 | 14.420 | 80 | 40 | 45 | 3,5 | 15.066 | 88 | 41 | 48 | 3,6 | 15.109 |
| 1400 | 62 | 20 | 30 | 1,6 | 16.627 | 80 | 40 | 44 | 3,3 | 17.320 | 88 | 41 | 48 | 3,4 | 17.366 |
| 1500 | 62 | 20 | 30 | 1,5 | 18.991 | 80 | 40 | 44 | 3,1 | 19.731 | 88 | 41 | 47 | 3,1 | 19.781 |

## Baulücke

| Nenn-weite | $L_0$ = 400 mm | | | | | $L_0$ = 450 mm | | | | | $L_0$ = 500 mm | | | | |
|---|---|---|---|---|---|---|---|---|---|---|---|---|---|---|---|
| | Dehnungsaufnahme | | | | A | Dehnungsaufnahme | | | | A | Dehnungsaufnahme | | | | A |
| | mm | mm | ±mm | ±° | cm² | mm | mm | ±mm | ±° | cm² | mm | mm | ±mm | ±° | cm² |
| 50 | 106 | 61 | 84 | 67,7 | 233 | 121 | 65 | 93 | 69 | 255 | 138 | 85 | 112 | 73,6 | 347 |
| 65 | 106 | 61 | 82 | 62 | 278 | 121 | 65 | 91 | 63,4 | 302 | 138 | 85 | 109 | 69,1 | 402 |
| 80 | 106 | 61 | 80 | 56,7 | 317 | 121 | 65 | 89 | 58,4 | 343 | 138 | 85 | 107 | 64,8 | 448 |
| 100 | 106 | 61 | 79 | 50,7 | 402 | 121 | 65 | 87 | 52,4 | 431 | 138 | 85 | 105 | 59,5 | 549 |
| 125 | 106 | 61 | 77 | 44,3 | 498 | 121 | 65 | 85 | 46,1 | 530 | 138 | 85 | 103 | 53,7 | 659 |
| 150 | 106 | 61 | 76 | 39,1 | 617 | 121 | 65 | 84 | 40,9 | 653 | 138 | 85 | 101 | 48,6 | 796 |
| 175 | 106 | 61 | 75 | 34,9 | 734 | 121 | 65 | 83 | 36,6 | 773 | 138 | 85 | 100 | 44,2 | 928 |
| 200 | 106 | 61 | 74 | 31,4 | 861 | 121 | 65 | 82 | 33 | 903 | 138 | 85 | 99 | 40,4 | 1.070 |
| 250 | 106 | 61 | 72 | 26 | 1.164 | 121 | 65 | 80 | 27,5 | 1.213 | 138 | 85 | 97 | 34,2 | 1.405 |
| 300 | 106 | 61 | 71 | 22,1 | 1.492 | 121 | 65 | 79 | 23,4 | 1.548 | 138 | 85 | 95 | 29,5 | 1.764 |
| 350 | 106 | 61 | 70 | 19,2 | 1.717 | 121 | 65 | 78 | 20,4 | 1.777 | 138 | 85 | 94 | 25,9 | 2.008 |
| 400 | 106 | 61 | 69 | 17 | 2.111 | 121 | 65 | 77 | 18 | 2.176 | 138 | 85 | 93 | 23 | 2.431 |
| 450 | 106 | 61 | 69 | 15,2 | 2.545 | 121 | 65 | 76 | 16,1 | 2.617 | 138 | 85 | 92 | 20,7 | 2.896 |
| 500 | 106 | 61 | 68 | 13,7 | 3.019 | 121 | 65 | 75 | 14,6 | 3.097 | 138 | 85 | 91 | 18,8 | 3.400 |
| 550 | 106 | 61 | 67 | 12,5 | 3.534 | 121 | 65 | 75 | 13,3 | 3.619 | 138 | 85 | 90 | 17,2 | 3.946 |
| 600 | 106 | 61 | 67 | 11,5 | 4.090 | 121 | 65 | 74 | 12,2 | 4.181 | 138 | 85 | 89 | 15,8 | 4.532 |
| 650 | 106 | 61 | 66 | 10,6 | 4.686 | 121 | 65 | 73 | 11,3 | 4.783 | 138 | 85 | 89 | 14,7 | 5.158 |
| 700 | 106 | 61 | 66 | 9,9 | 5.322 | 121 | 65 | 73 | 10,5 | 5.426 | 138 | 85 | 88 | 13,7 | 5.825 |
| 750 | 106 | 61 | 66 | 9,2 | 5.999 | 121 | 65 | 72 | 9,8 | 6.110 | 138 | 85 | 87 | 12,8 | 6.533 |
| 800 | 106 | 61 | 65 | 8,7 | 6.717 | 121 | 65 | 72 | 9,2 | 6.834 | 138 | 85 | 87 | 12 | 7.281 |
| 850 | 106 | 61 | 65 | 8,2 | 7.475 | 121 | 65 | 72 | 8,7 | 7.598 | 138 | 85 | 86 | 11,3 | 8.069 |
| 900 | 106 | 61 | 64 | 7,7 | 8.274 | 121 | 65 | 71 | 8,2 | 8.404 | 138 | 85 | 86 | 10,7 | 8.898 |
| 1000 | 106 | 61 | 64 | 7 | 9.993 | 121 | 65 | 71 | 7,4 | 10.136 | 138 | 85 | 85 | 9,6 | 10.678 |
| 1100 | 106 | 61 | 63 | 6,3 | 11.652 | 121 | 65 | 70 | 6,7 | 11.805 | 138 | 85 | 84 | 8,8 | 12.390 |
| 1200 | 106 | 61 | 63 | 5,8 | 13.623 | 121 | 65 | 69 | 6,2 | 13.789 | 138 | 85 | 84 | 8,1 | 14.420 |
| 1300 | 106 | 61 | 62 | 5,4 | 15.770 | 121 | 65 | 69 | 5,7 | 15.948 | 138 | 85 | 83 | 7,5 | 16.627 |
| 1400 | 106 | 61 | 62 | 5 | 18.074 | 121 | 65 | 68 | 5,3 | 18.265 | 138 | 85 | 83 | 6,9 | 18.991 |
| 1500 | 106 | 61 | 62 | 4,6 | 20.536 | 121 | 65 | 68 | 5 | 20.739 | 138 | 85 | 82 | 6,5 | 21.512 |

Empfohlene Größen
Weitere mögliche Größen

Reduzierung der Dehnungsaufnahme bei Kompensatoren mit PTFE-Auskleidung: axiale Stauchung: -33 %; axiale Streckung: -66 %; lateraler Versatz: -50 %; angulare Auswinkelung: -66 %. Bei axialer Streckung und gleichzeitigem lateralen Versatz reduzieren sich die o. g. Dehnungsaufnahmen (▶ Seite 29). Angulare Auswinkelung nur mit geführtem Überdruckring möglich. Größere Dehnungsaufnahmen siehe Typ B130 bzw. B133.

**Individuelle Anfertigung möglich**

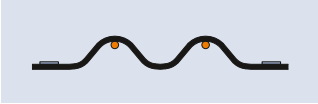

# B121

▶ mit innenliegenden Vakuumstützringen

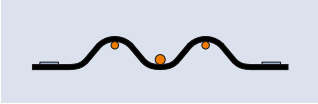

# B124

▶ mit innenliegenden Vakuumstützringen, mit Überdruckring im Wellental außen

HENNLICH

| Baulücke | | | | | | | | | | | | | | | |
|---|---|---|---|---|---|---|---|---|---|---|---|---|---|---|---|
| | $L_0$ = 250 mm | | | | | $L_0$ = 300 mm | | | | | $L_0$ = 350 mm | | | | |
| Nenn-weite | Dehnungsaufnahme | | | | A | Dehnungsaufnahme | | | | A | Dehnungsaufnahme | | | | A |
| | mm | mm | ±mm | ±° | cm² | mm | mm | ±mm | ±° | cm² | mm | mm | ±mm | ±° | cm² |
| 50 | 62 | 7 | 27 | 15,6 | 96 | 80 | 13 | 40 | 27,5 | 155 | 88 | 13 | 43 | 27,5 | 159 |
| 65 | 62 | 7 | 26 | 12,2 | 125 | 80 | 13 | 39 | 21,8 | 191 | 88 | 13 | 42 | 21,8 | 196 |
| 80 | 62 | 7 | 26 | 9,9 | 152 | 80 | 13 | 38 | 18,0 | 224 | 88 | 13 | 41 | 18,0 | 229 |
| 100 | 62 | 7 | 25 | 8,0 | 212 | 80 | 13 | 37 | 14,6 | 297 | 88 | 13 | 40 | 14,6 | 303 |
| 125 | 62 | 7 | 25 | 6,4 | 283 | 80 | 13 | 36 | 11,7 | 379 | 88 | 13 | 39 | 11,7 | 386 |
| 150 | 62 | 7 | 24 | 5,3 | 374 | 80 | 13 | 36 | 9,8 | 484 | 88 | 13 | 39 | 9,8 | 492 |
| 175 | 62 | 7 | 24 | 4,6 | 466 | 80 | 13 | 35 | 8,5 | 588 | 88 | 13 | 38 | 8,5 | 597 |
| 200 | 62 | 7 | 24 | 4,0 | 569 | 80 | 13 | 35 | 7,4 | 703 | 88 | 13 | 38 | 7,4 | 712 |
| 250 | 62 | 7 | 23 | 3,2 | 819 | 80 | 13 | 34 | 5,9 | 979 | 88 | 13 | 37 | 5,9 | 990 |
| 300 | 62 | 7 | 23 | 2,7 | 1.098 | 80 | 13 | 34 | 5,0 | 1.281 | 88 | 13 | 36 | 5,0 | 1.294 |
| 350 | 62 | 7 | 23 | 2,3 | 1.292 | 80 | 13 | 33 | 4,2 | 1.490 | 88 | 13 | 36 | 4,2 | 1.504 |
| 400 | 62 | 7 | 22 | 2,0 | 1.636 | 80 | 13 | 33 | 3,7 | 1.858 | 88 | 13 | 35 | 3,7 | 1.873 |
| 450 | 62 | 7 | 22 | 1,8 | 2.020 | 80 | 13 | 32 | 3,3 | 2.267 | 88 | 13 | 35 | 3,3 | 2.283 |
| 500 | 62 | 7 | 22 | 1,6 | 2.445 | 80 | 13 | 32 | 3,0 | 2.715 | 88 | 13 | 35 | 3,0 | 2.734 |
| 550 | 62 | 7 | 22 | 1,5 | 2.911 | 80 | 13 | 32 | 2,7 | 3.205 | 88 | 13 | 34 | 2,7 | 3.225 |
| 600 | 62 | 7 | 22 | 1,3 | 3.417 | 80 | 13 | 32 | 2,5 | 3.735 | 88 | 13 | 34 | 2,5 | 3.757 |
| 650 | 62 | 7 | 21 | 1,2 | 3.964 | 80 | 13 | 31 | 2,3 | 4.305 | 88 | 13 | 34 | 2,3 | 4.329 |
| 700 | 62 | 7 | 21 | 1,1 | 4.551 | 80 | 13 | 31 | 2,1 | 4.917 | 88 | 13 | 34 | 2,1 | 4.941 |
| 750 | 62 | 7 | 21 | 1,1 | 5.178 | 80 | 13 | 31 | 2,0 | 5.568 | 88 | 13 | 33 | 2,0 | 5.595 |
| 800 | 62 | 7 | 21 | 1,0 | 5.847 | 80 | 13 | 31 | 1,9 | 6.260 | 88 | 13 | 33 | 1,9 | 6.288 |
| 850 | 62 | 7 | 21 | 0,9 | 6.555 | 80 | 13 | 31 | 1,8 | 6.993 | 88 | 13 | 33 | 1,8 | 7.023 |
| 900 | 62 | 7 | 21 | 0,9 | 7.305 | 80 | 13 | 30 | 1,7 | 7.766 | 88 | 13 | 33 | 1,7 | 7.798 |
| 1000 | 62 | 7 | 21 | 0,8 | 8.925 | 80 | 13 | 30 | 1,5 | 9.434 | 88 | 13 | 33 | 1,5 | 9.469 |
| 1100 | 62 | 7 | 20 | 0,7 | 10.496 | 80 | 13 | 30 | 1,4 | 11.047 | 88 | 13 | 32 | 1,4 | 11.085 |
| 1200 | 62 | 7 | 20 | 0,7 | 12.370 | 80 | 13 | 30 | 1,2 | 12.969 | 88 | 13 | 32 | 1,2 | 13.009 |
| 1300 | 62 | 7 | 20 | 0,6 | 14.420 | 80 | 13 | 29 | 1,1 | 15.066 | 88 | 13 | 32 | 1,1 | 15.109 |
| 1400 | 62 | 7 | 20 | 0,6 | 16.627 | 80 | 13 | 29 | 1,1 | 17.320 | 88 | 13 | 32 | 1,1 | 17.366 |
| 1500 | 62 | 7 | 20 | 0,5 | 18.991 | 80 | 13 | 29 | 1,0 | 19.731 | 88 | 13 | 31 | 1,0 | 19.781 |

| Baulücke | | | | | | | | | | | | | | | |
|---|---|---|---|---|---|---|---|---|---|---|---|---|---|---|---|
| | $L_0$ = 400 mm | | | | | $L_0$ = 450 mm | | | | | $L_0$ = 500 mm | | | | |
| Nenn-weite | Dehnungsaufnahme | | | | A | Dehnungsaufnahme | | | | A | Dehnungsaufnahme | | | | A |
| | mm | mm | ±mm | ±° | cm² | mm | mm | ±mm | ±° | cm² | mm | mm | ±mm | ±° | cm² |
| 50 | 106 | 20 | 55 | 38,7 | 233 | 121 | 21 | 61 | 40,0 | 255 | 138 | 28 | 74 | 48,2 | 347 |
| 65 | 106 | 20 | 54 | 31,6 | 278 | 121 | 21 | 60 | 32,9 | 302 | 138 | 28 | 72 | 40,7 | 402 |
| 80 | 106 | 20 | 53 | 26,6 | 317 | 121 | 21 | 59 | 27,7 | 343 | 138 | 28 | 71 | 35,0 | 448 |
| 100 | 106 | 20 | 52 | 21,8 | 402 | 121 | 21 | 57 | 22,8 | 431 | 138 | 28 | 69 | 29,2 | 549 |
| 125 | 106 | 20 | 51 | 17,7 | 498 | 121 | 21 | 56 | 18,6 | 530 | 138 | 28 | 68 | 24,1 | 659 |
| 150 | 106 | 20 | 50 | 14,9 | 617 | 121 | 21 | 55 | 15,6 | 653 | 138 | 28 | 67 | 20,5 | 796 |
| 175 | 106 | 20 | 49 | 12,9 | 734 | 121 | 21 | 55 | 13,5 | 773 | 138 | 28 | 66 | 17,7 | 928 |
| 200 | 106 | 20 | 49 | 11,3 | 861 | 121 | 21 | 54 | 11,9 | 903 | 138 | 28 | 65 | 15,6 | 1.070 |
| 250 | 106 | 20 | 48 | 9,1 | 1.164 | 121 | 21 | 53 | 9,5 | 1.213 | 138 | 28 | 64 | 12,6 | 1.405 |
| 300 | 106 | 20 | 47 | 7,6 | 1.492 | 121 | 21 | 52 | 8,0 | 1.548 | 138 | 28 | 63 | 10,6 | 1.764 |
| 350 | 106 | 20 | 46 | 6,5 | 1.717 | 121 | 21 | 51 | 6,8 | 1.777 | 138 | 28 | 62 | 9,1 | 2.008 |
| 400 | 106 | 20 | 46 | 5,7 | 2.111 | 121 | 21 | 51 | 6,0 | 2.176 | 138 | 28 | 61 | 8,0 | 2.431 |
| 450 | 106 | 20 | 45 | 5,1 | 2.545 | 121 | 21 | 50 | 5,3 | 2.617 | 138 | 28 | 60 | 7,1 | 2.896 |
| 500 | 106 | 20 | 45 | 4,6 | 3.019 | 121 | 21 | 50 | 4,8 | 3.097 | 138 | 28 | 60 | 6,4 | 3.400 |
| 550 | 106 | 20 | 45 | 4,2 | 3.534 | 121 | 21 | 49 | 4,4 | 3.619 | 138 | 28 | 59 | 5,8 | 3.946 |
| 600 | 106 | 20 | 44 | 3,8 | 4.090 | 121 | 21 | 49 | 4,0 | 4.181 | 138 | 28 | 59 | 5,3 | 4.532 |
| 650 | 106 | 20 | 44 | 3,5 | 4.686 | 121 | 21 | 48 | 3,7 | 4.783 | 138 | 28 | 58 | 4,9 | 5.158 |
| 700 | 106 | 20 | 44 | 3,3 | 5.322 | 121 | 21 | 48 | 3,4 | 5.426 | 138 | 28 | 58 | 4,6 | 5.825 |
| 750 | 106 | 20 | 43 | 3,1 | 5.999 | 121 | 21 | 48 | 3,2 | 6.110 | 138 | 28 | 58 | 4,3 | 6.533 |
| 800 | 106 | 20 | 43 | 2,9 | 6.717 | 121 | 21 | 48 | 3,0 | 6.834 | 138 | 28 | 57 | 4,0 | 7.281 |
| 850 | 106 | 20 | 43 | 2,7 | 7.475 | 121 | 21 | 47 | 2,8 | 7.598 | 138 | 28 | 57 | 3,8 | 8.069 |
| 900 | 106 | 20 | 43 | 2,5 | 8.274 | 121 | 21 | 47 | 2,7 | 8.404 | 138 | 28 | 57 | 3,6 | 8.898 |
| 1000 | 106 | 20 | 42 | 2,3 | 9.993 | 121 | 21 | 47 | 2,4 | 10.136 | 138 | 28 | 56 | 3,2 | 10.678 |
| 1100 | 106 | 20 | 42 | 2,1 | 11.652 | 121 | 21 | 46 | 2,2 | 11.805 | 138 | 28 | 56 | 2,9 | 12.390 |
| 1200 | 106 | 20 | 41 | 1,9 | 13.623 | 121 | 21 | 46 | 2,0 | 13.789 | 138 | 28 | 55 | 2,7 | 14.420 |
| 1300 | 106 | 20 | 41 | 1,8 | 15.770 | 121 | 21 | 46 | 1,9 | 15.948 | 138 | 28 | 55 | 2,5 | 16.627 |
| 1400 | 106 | 20 | 41 | 1,6 | 18.074 | 121 | 21 | 45 | 1,7 | 18.265 | 138 | 28 | 55 | 2,3 | 18.991 |
| 1500 | 106 | 20 | 41 | 1,5 | 20.536 | 121 | 21 | 45 | 1,6 | 20.739 | 138 | 28 | 54 | 2,1 | 21.512 |

Empfohlene Größen
Weitere mögliche Größen

Reduzierung der Dehnungsaufnahme bei Kompensatoren mit PTFE-Auskleidung: axiale Stauchung: -33 %; axiale Streckung: -0 %; lateraler Versatz: -25 %; angulare Auswinkelung: -0 %. Bei axialer Streckung und gleichzeitigem lateralen Versatz reduzieren sich die o. g. Dehnungsaufnahmen (▶ Seite 29). Angulare Auswinkelung nur mit geführtem Überdruckring möglich. Größere Dehnungsaufnahmen siehe Typ B131 bzw. B134.

**Individuelle Anfertigung möglich**

HENNLICH

# B122

▶ mit einvulkanisierten Vakuumstützringen

# B125

▶ mit einvulkanisierten Vakuumstützringen, mit Überdruckring im Wellental außen

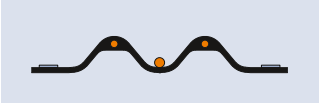

## Baulücke

| Nenn-weite | $L_0$ = 250 mm | | | | | $L_0$ = 300 mm | | | | | $L_0$ = 350 mm | | | | |
|---|---|---|---|---|---|---|---|---|---|---|---|---|---|---|---|
| | Dehnungsaufnahme | | | | A | Dehnungsaufnahme | | | | A | Dehnungsaufnahme | | | | A |
| | mm | mm | ±mm | ±° | cm² | mm | mm | ±mm | ±° | cm² | mm | mm | ±mm | ±° | cm² |
| 50 | 41 | 7 | 20 | 15,6 | 96 | 52 | 13 | 30 | 27,5 | 155 | 58 | 13 | 32 | 27,5 | 159 |
| 65 | 41 | 7 | 20 | 12,2 | 125 | 52 | 13 | 29 | 21,8 | 191 | 58 | 13 | 32 | 21,8 | 196 |
| 80 | 41 | 7 | 20 | 9,9 | 152 | 52 | 13 | 29 | 18,0 | 224 | 58 | 13 | 31 | 18,0 | 229 |
| 100 | 41 | 7 | 19 | 8,0 | 212 | 52 | 13 | 28 | 14,6 | 297 | 58 | 13 | 30 | 14,6 | 303 |
| 125 | 41 | 7 | 19 | 6,4 | 283 | 52 | 13 | 28 | 11,7 | 379 | 58 | 13 | 30 | 11,7 | 386 |
| 150 | 41 | 7 | 18 | 5,3 | 374 | 52 | 13 | 27 | 9,8 | 484 | 58 | 13 | 29 | 9,8 | 492 |
| 175 | 41 | 7 | 18 | 4,6 | 466 | 52 | 13 | 27 | 8,5 | 588 | 58 | 13 | 29 | 8,5 | 597 |
| 200 | 41 | 7 | 18 | 4,0 | 569 | 52 | 13 | 26 | 7,4 | 703 | 58 | 13 | 29 | 7,4 | 712 |
| 250 | 41 | 7 | 18 | 3,2 | 819 | 52 | 13 | 26 | 5,9 | 979 | 58 | 13 | 28 | 5,9 | 990 |
| 300 | 41 | 7 | 17 | 2,7 | 1.098 | 52 | 13 | 26 | 5,0 | 1.281 | 58 | 13 | 27 | 5,0 | 1.294 |
| 350 | 41 | 7 | 17 | 2,3 | 1.292 | 52 | 13 | 25 | 4,2 | 1.490 | 58 | 13 | 27 | 4,2 | 1.504 |
| 400 | 41 | 7 | 17 | 2,0 | 1.636 | 52 | 13 | 25 | 3,7 | 1.858 | 58 | 13 | 27 | 3,7 | 1.873 |
| 450 | 41 | 7 | 17 | 1,8 | 2.020 | 52 | 13 | 25 | 3,3 | 2.267 | 58 | 13 | 26 | 3,3 | 2.283 |
| 500 | 41 | 7 | 17 | 1,6 | 2.445 | 52 | 13 | 24 | 3,0 | 2.715 | 58 | 13 | 26 | 3,0 | 2.734 |
| 550 | 41 | 7 | 16 | 1,5 | 2.911 | 52 | 13 | 24 | 2,7 | 3.205 | 58 | 13 | 26 | 2,7 | 3.225 |
| 600 | 41 | 7 | 16 | 1,3 | 3.417 | 52 | 13 | 24 | 2,5 | 3.735 | 58 | 13 | 26 | 2,5 | 3.757 |
| 650 | 41 | 7 | 16 | 1,2 | 3.964 | 52 | 13 | 24 | 2,3 | 4.305 | 58 | 13 | 26 | 2,3 | 4.329 |
| 700 | 41 | 7 | 16 | 1,1 | 4.551 | 52 | 13 | 24 | 2,1 | 4.917 | 58 | 13 | 25 | 2,1 | 4.941 |
| 750 | 41 | 7 | 16 | 1,1 | 5.178 | 52 | 13 | 23 | 2,0 | 5.568 | 58 | 13 | 25 | 2,0 | 5.595 |
| 800 | 41 | 7 | 16 | 1,0 | 5.847 | 52 | 13 | 23 | 1,9 | 6.260 | 58 | 13 | 25 | 1,9 | 6.288 |
| 850 | 41 | 7 | 16 | 0,9 | 6.555 | 52 | 13 | 23 | 1,8 | 6.993 | 58 | 13 | 25 | 1,8 | 7.023 |
| 900 | 41 | 7 | 16 | 0,9 | 7.305 | 52 | 13 | 23 | 1,7 | 7.766 | 58 | 13 | 25 | 1,7 | 7.798 |
| 1000 | 41 | 7 | 16 | 0,8 | 8.925 | 52 | 13 | 23 | 1,5 | 9.434 | 58 | 13 | 25 | 1,5 | 9.469 |
| 1100 | 41 | 7 | 15 | 0,7 | 10.496 | 52 | 13 | 23 | 1,4 | 11.047 | 58 | 13 | 24 | 1,4 | 11.085 |
| 1200 | 41 | 7 | 15 | 0,7 | 12.370 | 52 | 13 | 22 | 1,2 | 12.969 | 58 | 13 | 24 | 1,2 | 13.009 |
| 1300 | 41 | 7 | 15 | 0,6 | 14.420 | 52 | 13 | 22 | 1,1 | 15.066 | 58 | 13 | 24 | 1,1 | 15.109 |
| 1400 | 41 | 7 | 15 | 0,6 | 16.627 | 52 | 13 | 22 | 1,1 | 17.320 | 58 | 13 | 24 | 1,1 | 17.366 |
| 1500 | 41 | 7 | 15 | 0,5 | 18.991 | 52 | 13 | 22 | 1,0 | 19.731 | 58 | 13 | 24 | 1,0 | 19.781 |

## Baulücke

| Nenn-weite | $L_0$ = 400 mm | | | | | $L_0$ = 450 mm | | | | | $L_0$ = 500 mm | | | | |
|---|---|---|---|---|---|---|---|---|---|---|---|---|---|---|---|
| | Dehnungsaufnahme | | | | A | Dehnungsaufnahme | | | | A | Dehnungsaufnahme | | | | A |
| | mm | mm | ±mm | ±° | cm² | mm | mm | ±mm | ±° | cm² | mm | mm | ±mm | ±° | cm² |
| 50 | 70 | 20 | 42 | 38,7 | 233 | 80 | 21 | 46 | 40,0 | 255 | 91 | 28 | 56 | 48,2 | 347 |
| 65 | 70 | 20 | 41 | 31,6 | 278 | 80 | 21 | 45 | 32,9 | 302 | 91 | 28 | 55 | 40,7 | 402 |
| 80 | 70 | 20 | 40 | 26,6 | 317 | 80 | 21 | 44 | 27,7 | 343 | 91 | 28 | 54 | 35,0 | 448 |
| 100 | 70 | 20 | 39 | 21,8 | 402 | 80 | 21 | 44 | 22,8 | 431 | 91 | 28 | 53 | 29,2 | 549 |
| 125 | 70 | 20 | 39 | 17,7 | 498 | 80 | 21 | 43 | 18,6 | 530 | 91 | 28 | 51 | 24,1 | 659 |
| 150 | 70 | 20 | 38 | 14,9 | 617 | 80 | 21 | 42 | 15,6 | 653 | 91 | 28 | 51 | 20,5 | 796 |
| 175 | 70 | 20 | 37 | 12,9 | 734 | 80 | 21 | 41 | 13,5 | 773 | 91 | 28 | 50 | 17,7 | 928 |
| 200 | 70 | 20 | 37 | 11,3 | 861 | 80 | 21 | 41 | 11,9 | 903 | 91 | 28 | 49 | 15,6 | 1.070 |
| 250 | 70 | 20 | 36 | 9,1 | 1.164 | 80 | 21 | 40 | 9,5 | 1.213 | 91 | 28 | 48 | 12,6 | 1.405 |
| 300 | 70 | 20 | 36 | 7,6 | 1.492 | 80 | 21 | 39 | 8,0 | 1.548 | 91 | 28 | 48 | 10,6 | 1.764 |
| 350 | 70 | 20 | 35 | 6,5 | 1.717 | 80 | 21 | 39 | 6,8 | 1.777 | 91 | 28 | 47 | 9,1 | 2.008 |
| 400 | 70 | 20 | 35 | 5,7 | 2.111 | 80 | 21 | 38 | 6,0 | 2.176 | 91 | 28 | 46 | 8,0 | 2.431 |
| 450 | 70 | 20 | 34 | 5,1 | 2.545 | 80 | 21 | 38 | 5,3 | 2.617 | 91 | 28 | 46 | 7,1 | 2.896 |
| 500 | 70 | 20 | 34 | 4,6 | 3.019 | 80 | 21 | 38 | 4,8 | 3.097 | 91 | 28 | 45 | 6,4 | 3.400 |
| 550 | 70 | 20 | 34 | 4,2 | 3.534 | 80 | 21 | 37 | 4,4 | 3.619 | 91 | 28 | 45 | 5,8 | 3.946 |
| 600 | 70 | 20 | 33 | 3,8 | 4.090 | 80 | 21 | 37 | 4,0 | 4.181 | 91 | 28 | 45 | 5,3 | 4.532 |
| 650 | 70 | 20 | 33 | 3,5 | 4.686 | 80 | 21 | 37 | 3,7 | 4.783 | 91 | 28 | 44 | 4,9 | 5.158 |
| 700 | 70 | 20 | 33 | 3,3 | 5.322 | 80 | 21 | 36 | 3,4 | 5.426 | 91 | 28 | 44 | 4,6 | 5.825 |
| 750 | 70 | 20 | 33 | 3,1 | 5.999 | 80 | 21 | 36 | 3,2 | 6.110 | 91 | 28 | 44 | 4,3 | 6.533 |
| 800 | 70 | 20 | 33 | 2,9 | 6.717 | 80 | 21 | 36 | 3,0 | 6.834 | 91 | 28 | 43 | 4,0 | 7.281 |
| 850 | 70 | 20 | 32 | 2,7 | 7.475 | 80 | 21 | 36 | 2,8 | 7.598 | 91 | 28 | 43 | 3,8 | 8.069 |
| 900 | 70 | 20 | 32 | 2,5 | 8.274 | 80 | 21 | 36 | 2,7 | 8.404 | 91 | 28 | 43 | 3,6 | 8.898 |
| 1000 | 70 | 20 | 32 | 2,3 | 9.993 | 80 | 21 | 35 | 2,4 | 10.136 | 91 | 28 | 43 | 3,2 | 10.678 |
| 1100 | 70 | 20 | 32 | 2,1 | 11.652 | 80 | 21 | 35 | 2,2 | 11.805 | 91 | 28 | 42 | 2,9 | 12.390 |
| 1200 | 70 | 20 | 31 | 1,9 | 13.623 | 80 | 21 | 35 | 2,0 | 13.789 | 91 | 28 | 42 | 2,7 | 14.420 |
| 1300 | 70 | 20 | 31 | 1,8 | 15.770 | 80 | 21 | 34 | 1,9 | 15.948 | 91 | 28 | 42 | 2,5 | 16.627 |
| 1400 | 70 | 20 | 31 | 1,6 | 18.074 | 80 | 21 | 34 | 1,7 | 18.265 | 91 | 28 | 41 | 2,3 | 18.991 |
| 1500 | 70 | 20 | 31 | 1,5 | 20.536 | 80 | 21 | 34 | 1,6 | 20.739 | 91 | 28 | 41 | 2,1 | 21.512 |

Empfohlene Größen
Weitere mögliche Größen

Reduzierung der Dehnungsaufnahme bei Kompensatoren mit PTFE-Auskleidung: axiale Stauchung: -0 %; axiale Streckung: -0 %; lateraler Versatz: -0 %; angulare Auswinkelung: -0 %. Bei axialer Streckung und gleichzeitigem lateralen Versatz reduzieren sich die o. g. Dehnungsaufnahmen (▶ Seite 29). Angulare Auswinkelung nur mit geführtem Außenstützring möglich. Größere Dehnungsaufnahmen siehe Typ B132 bzw. B135.

**Individuelle Anfertigung möglich**